

This airborne geophysical survey and the production of this map were funded by the Saskatchewan Ministry of Energy and Resources and the GEM-Energy Program of the Earth Sciences Sector, Natural Resources Canada.

Ce levé géophysique s'est effectué et la production de cette carte ont été financés par le ministère de l'Energie et des Ressources de la Saskatchewan et le programme GEM-Energie du Secteur des sciences de la Terre, Ressources naturelles Canada.

GSC OPEN FILE 6797 / DOSSIER PUBLIC 6797 DE LA CGC
SMER OPEN FILE 2011-32

GEOPHYSICAL SERIES / SÉRIE DES CARTES GÉOPHYSIQUES

AIRBORNE GEOPHYSICAL SURVEY OF THE NORTHWESTERN ATHABASCA BASIN, SASKATCHEWAN
LEVÉ GÉOPHYSIQUE AÉROPORTÉ DE LA PARTIE NORD-OUEST DU BASSIN ATHABASCA, SASKATCHEWAN

NTS 74 K/14 Silverthorn Lake / SNRC 74 K/14 Silverthorn Lake

RESIDUAL TOTAL MAGNETIC FIELD COMPOSANTE RÉSIDUELLE DU CHAMP MAGNÉTIQUE TOTAL

Authors: Fortin, R., Coyle, M., Buckle, J.,
Hefford, S.W. and Delaney, G.

Data acquisition, compilation and map production by Goldak Airborne Surveys, Saskatoon, Saskatchewan. Contract and project management by the Geological Survey of Canada, Ottawa, Ontario.

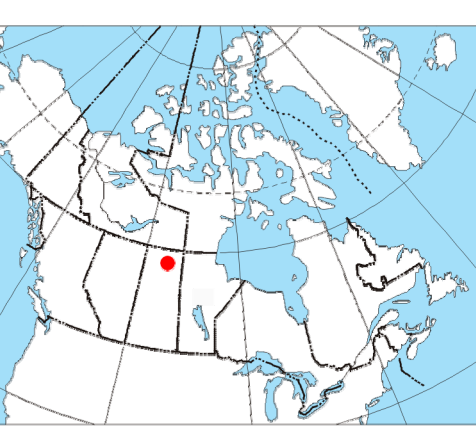
Scale 1:50 000 - Échelle 1/50 000

mètres 1000 0 1000 2000 3000 mètres

NAD83 / UTM zone 13N

Auteurs : Fortin, R., Coyle, M., Buckle, J.,
Hefford, S.W. et Delaney, G.

L'acquisition, la compilation des données ainsi que la production des cartes ont été effectuées par Goldak Airborne Surveys, Saskatoon, Saskatchewan. La gestion et la supervision du projet furent effectuées par la Commission géologique du Canada, Ottawa, Ontario.



GEM

Introduction

A quantitative gamma-ray spectrometry and aerogeophysical airborne geophysical survey of the Northwestern Athabasca Basin, Saskatchewan, was completed by Goldak Airborne Surveys. The survey was flown from June 24th to September 12th on two Piper PA-31 Navajo aircraft (C-GJBA, C-GJBX) and one Cessna Caravan (C-GLDX). The nominal traverse line lengths were, respectively, 400 km and 2400 km, and the airspeed flew at a nominal constant airspeed of 125 km/h airspeed and 210 km/h true airspeed.

Gamma-ray Spectrometric Data

The airborne gamma-ray measurements were made with a Radiation Solutions RS-400 gamma-ray spectrometer using four 102x102x406 mm NaI (Tl) crystals. The main detector array consisted of twelve crystals (total volume 50.4 litres), shielded by the main array, were used to detect variations in background radiation caused by atmospheric radon. The system constantly monitored the natural thorium peak for each crystal, and using a Gaussian least squares algorithm, adjusted the gain for each crystal.

Proton fluxes measured directly from the 1460 keV gamma-ray photons emitted by K^{+} , whereas uranium and thorium are measured indirectly from gamma-ray photons emitted by their parents; thus gamma-ray spectrometric measurements of uranium and thorium are referred to as equivalent uranium and equivalent thorium, i.e. eU and eTh . The energy window for each crystal.

Gamma-ray spectra were recorded at one-second intervals. Data processing followed standard procedures as described in IAEA, 1991 and IAEA, 2003. During processing, spectra were energy calibrated, and counts were integrated into the windows described above. Counts per second and radiation dose rate were converted to activity concentration in $\mu\text{Ci}/\text{kg}$ and Bq/kg , respectively. The energy window for each crystal was corrected for dead time, background and detector efficiency. The window data were then corrected for spectral scattering in the ground, air and detectors. Corrections for deviations from the planned terrain clearance and variation of temperature and pressure were made prior to conversion to ground concentrations of potassium, uranium and thorium are listed in Table 1.

	C-GJBA	C-GJBX	C-GLDX
Potassium (cpk%)	63.27	62.05	99.15
Uranium (cpk/gpm)	15.82	15.82	10.30
Thorium (cpk%)	5.61	5.45	6.57

Table 1 Gamma Ray Spectrometer Sensitivities for each aircraft

Corrected data were linearly interpolated to a 100 m grid interval. The results of an airborne gamma-ray spectrometer survey represent the average surface concentrations that are influenced by varying amounts of outcropping, overburden, vegetation, soil, moisture and surface water. As a result the measured concentrations are usually lower than the actual bedrock concentrations. The total air absorbed dose rate in nanograys per hour was produced from measured counts between 400 and 2810 keV.

Magnetic Data

The magnetic field was sampled 10 times per second using a split-beam cesium vapour magnetometer (sensitivity = 0.005 nT) rigidly mounted to the aircraft. Differences in magnetic values at the intersections of control and traverse lines were computer-analysed to obtain a mutually levelling set of flight-line magnetic data. The levelled values were then interpolated to a 100 m grid. The International Geodetic Reference Field (IGRF) defined at the average GPS altitude of 5100 m for the year 2010.61 was then removed. Removal of the IGRF, the terrestrial field, and the atmospheric radon decay products. The window data were then corrected for spectral scattering in the ground, air and detectors. Corrections for deviations from the planned terrain clearance and variation of temperature and pressure were made prior to conversion to ground concentrations of potassium, uranium and thorium are listed in Table 1.

The first vertical derivative of the magnetic field in the vertical direction. Computation of the first vertical derivative removes long wavelength features of the magnetic field and significantly improves the resolution of closely spaced and superposed anomalies. A property of first vertical derivative maps is the coincidence of the zero-value contour with the contacts of magnetic units at high magnetic latitudes (Hood, 1965).

LEVÉ GÉOPHYSIQUE DE LA PARTIE NORD-OUEST DU BASSIN ATHABASCA, SASKATCHEWAN

Introduction

Un levé géophysique aéroporté combinant l'acquisition de données de spectrométrie gamma et de données magnétiques a été réalisé dans la partie nord-ouest du bassin de l'Athabasca en Saskatchewan par la société Goldak Airborne Surveys. Le levé a été effectué du 24 juin au 21 septembre 2010, à bord de deux avions Piper PA-31 Navajo (C-GJBA, C-GJBX) et d'un Cessna Caravan (C-GLDX). L'espacement initial des lignes de vol était de 400 m et calculé des lignes de contact de 2400 m. L'altitude nominale de vol était de 125 m au-dessus du niveau de la mer et l'espacement initial des lignes de vol était de 2700 m. Les lignes de vol étaient toutes dans leur état initial perpendicular. La trajectoire de vol a été restituée par l'application après le vol de corrections différentielles aux données brutes enregistrées avec un récepteur GPS.

Données de spectrométrie gamma

Les mesures du rayonnement gamma ont été effectuées avec un spectromètre gamma Radiation Solutions RS-400 utilisant cristaux de caesium de Thor (Tl) (volumétrie = 0.005 nT) rigidelement fixé à l'avion. Différences dans les intersections de lignes de contrôle et de lignes de levé ont été analysées pour obtenir un ensemble mutualisé de lignes de levé magnétiques. Les valeurs levellées ont ensuite été interpolées pour une résolution de 100 m. Le champ géomagnétique de la Terre, produites par le système IGREF, a été enlevé. Les corrections pour les dérivées temporelles du radon atmosphérique ont été appliquées pour tenir compte de la diffusion spectrale dans le sol, l'air et les capteurs. Les corrections pour la température et la pression ont également été appliquées pour tenir compte de l'absorption totale par l'air, en nanograys par heure. Un filtre a été appliqué aux données corrigées, qui ont ensuite été couplées avec une grille de 100 m.

	C-GJBA	C-GJBX	C-GLDX
Potassium (cpk%)	63.27	62.05	99.15
Uranium (cpk/gpm)	15.82	15.82	10.30
Thorium (cpk%)	5.61	5.45	6.57

Table 1. Sensibilité des spectromètres de chaque des avions.

Les résultats d'un levé aéroporté de spectrométrie gamma représentent les concentrations moyennes à la surface. Ces-ci sont influencées par les étendues variables des affleurements, des morts-morts, de la couverture végétale et de l'eau de surface. Par conséquent, les concentrations mesurées sont habituellement plus faibles que les concentrations réelles dans le substratum rocheux.

Données sur le champ magnétique

Le champ magnétique a été échantillonné 10 fois par seconde à l'aide d'un magnétomètre à vapeur de césum porté par l'air. Les différences de valeur du champ magnétique aux intersections des lignes de contrôle et des lignes de levé ont été analysées afin d'obtenir un ensemble de données sur le champ magnétique mutuellement levellé pour les lignes de vol. Ces valeurs levellées ont ensuite été interpolées pour une résolution de 100 m. Le champ géomagnétique international (IGRF) a été enlevé. Les corrections pour les dérivées temporelles du radon atmosphérique ont été appliquées pour tenir compte de la diffusion spectrale dans le sol, l'air et les capteurs. Les corrections pour la température et la pression ont également été appliquées pour tenir compte de l'absorption totale par l'air, en nanograys par heure. Un filtre a été appliqué aux données corrigées, qui ont ensuite été couplées avec une grille de 100 m.

Données sur le champ magnétique

Le champ magnétique a été échantillonné 10 fois par seconde à l'aide d'un magnétomètre à vapeur de césum porté par l'air. Les différences de valeur du champ magnétique aux intersections des lignes de contrôle et des lignes de levé ont été analysées afin d'obtenir un ensemble de données sur le champ magnétique mutuellement levellé pour les lignes de vol. Ces valeurs levellées ont ensuite été interpolées pour une résolution de 100 m. Le champ géomagnétique international (IGRF) a été enlevé. Les corrections pour les dérivées temporelles du radon atmosphérique ont été appliquées pour tenir compte de la diffusion spectrale dans le sol, l'air et les capteurs. Les corrections pour la température et la pression ont également été appliquées pour tenir compte de l'absorption totale par l'air, en nanograys par heure. Un filtre a été appliqué aux données corrigées, qui ont ensuite été couplées avec une grille de 100 m.

References/Références

Hood, P.J. 1965. Gradient measurements in aerogeophysical surveying. *Geophysics*, v.30, p.891-902.

International Atomic Energy Agency, 1991. *Airborne gamma ray spectrometer surveying*. Technical Reports Series 323, IAEA, Vienna.

International Atomic Energy Agency, 2003. *Guidelines for radiometric mapping using gamma ray spectrometry data*. Technical Reports Series 1363, IAEA, Vienna.

PLANIMETRIC SYMBOLS

Drainage		Drainage
Highway		Autoroute
Flight line		Ligne de vol

ISOMAGNETIC LINES

200nT		200nT
50nT		50nT
10nT		10nT
2nT		2nT

LIGNES ISOMAGNÉTIQUES

200nT		200nT
50nT		50nT
10nT		10nT
2nT		2nT

MAP SHEET SUMMARY / SOMMAIRE DES FEUILLES

Sheet Feuillet MAP / CARTE

1. Natural Air Absorbed Dose Rate Taux d'absorption naturel des rayons gamma dans l'air
2. Potassium Potassium
3. Uranium Uranium
4. Thorium Thorium
5. Uranium / Thorium Uranium / Thorium
6. Uranium / Potassium Uranium / Potassium
7. Thorium / Potassium Thorium / Potassium
8. Ternary Radiolysis Map Diagramme ternaire des radiolyses
9. Regional Total Magnetic Field Champ magnétique total régional
10. First Vertical Derivative of the Magnetic Field Dérivée première verticale du champ magnétique

OPEN FILE

2011-32

SASKATCHEWAN MINISTRY OF ENERGY AND RESOURCES

2011

FEUILLET 9 DE 10

FEUILLET 9